

# LP 34: Interferométrie à division d'amplitude

Niveau: L2

- Prérequis :
- Interférence à 2 ondes
  - Cohérence mutuelle de 2 sources.
  - Interférence avec 2 sources ponctuelles monochromatiques.

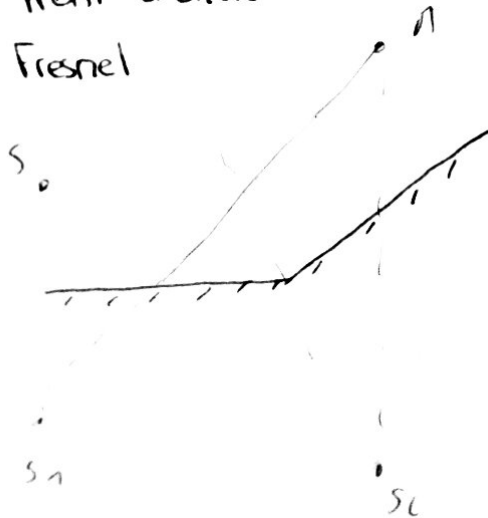
Cours optique ondulatoire.

I) Interférences avec une source étendue

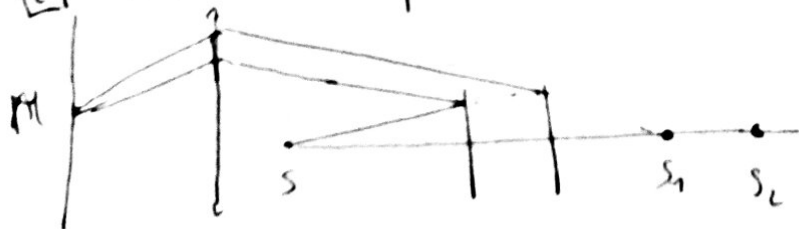
1) Dispositif à division du front d'onde et d'amplitude.

2 sources ponctuelles cohérentes à partir d'une source

1) Division du front d'onde  
Miroirs de Fresnel



2) Division d'amplitude

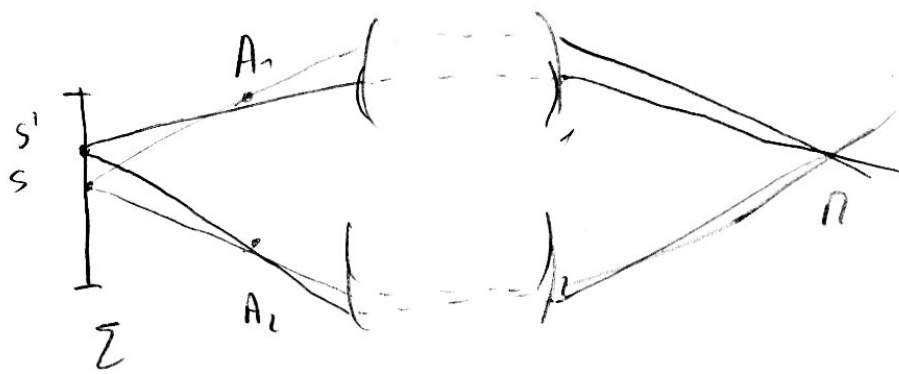


Eclairissement au point P

$$E(P) = 2E_0 \left( 1 + \cos \frac{2\pi \delta(S_1, P)}{\lambda} \right)$$

$$S(P) = (S_1)_2 - (S_2)_1$$

2) Source étendue :  $\Sigma$  sources ponctuelles incohérentes entre elles.



$$E(P) = \iint_{\Sigma} 2E_0 \left( 1 + \cos \left( \frac{2\pi \delta(S, P)}{\lambda} \right) \right) dS$$

$$\delta(S', P) = \delta(S, P) + \frac{\lambda}{2}$$

Source ponctuelle :  $\delta(S, P) \ll \lambda$ .

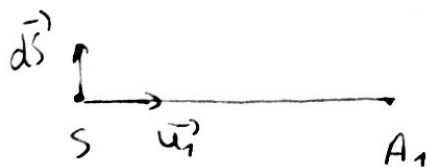
$A_1$  est le point conjugué de  $P$

$$\delta(S, P) = (SA_2) - (A_2P) - ((SA_1) - (A_1P))$$

$$\delta(S', P) = (S'A_2) - (A_2P) - ((S'A_1) - (A_1P))$$

$$\Delta S = (SA_2 - S'A_1) - ((SA_1) - (S'A_1))$$

$$= d(SA_2) - d(SA_1)$$

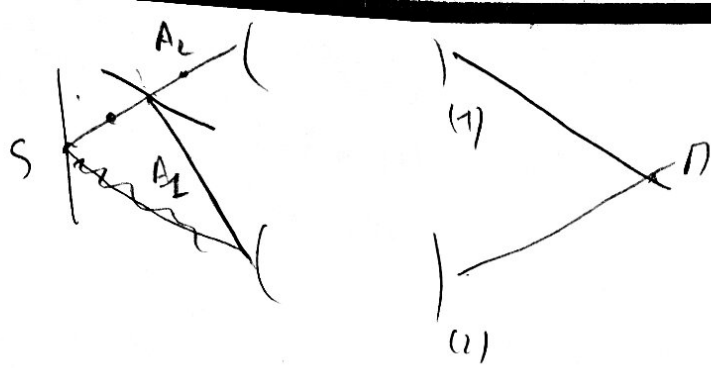


$$dSA_1 = -dS \cdot \vec{u}_1$$

$$\Delta S = -d\vec{S} \cdot \vec{u}_2 + d\vec{S} \cdot \vec{u}_1 = d\vec{S} (\vec{u}_1 - \vec{u}_2)$$

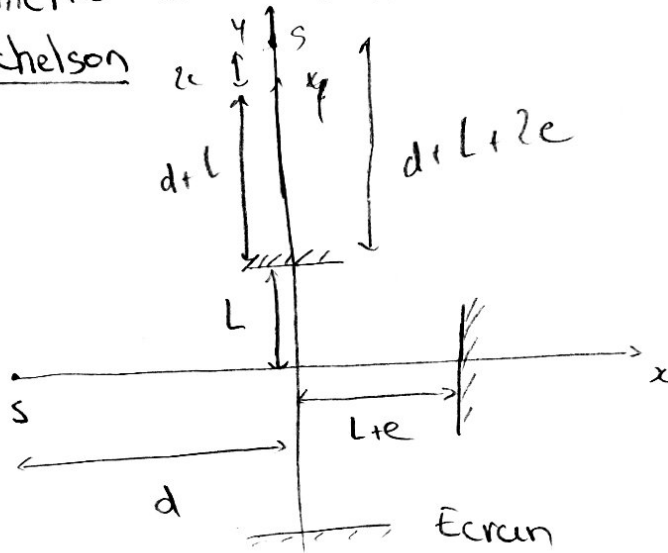
$$\vec{u}_1 = \vec{u}_2$$

$\Rightarrow$  Nécessité d'utiliser un système à division d'amplitude, pr une source étendue.



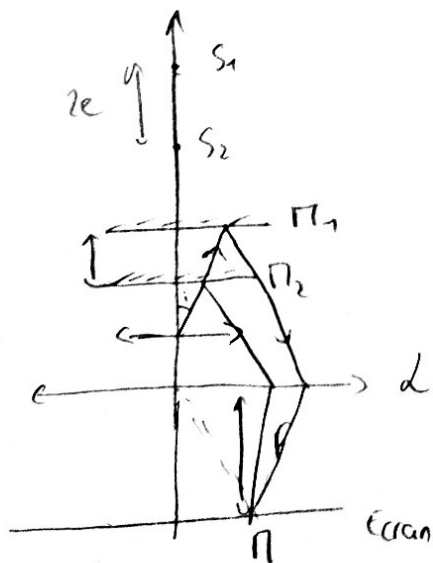
II) Interferomètre à faces //

1) Nichelson

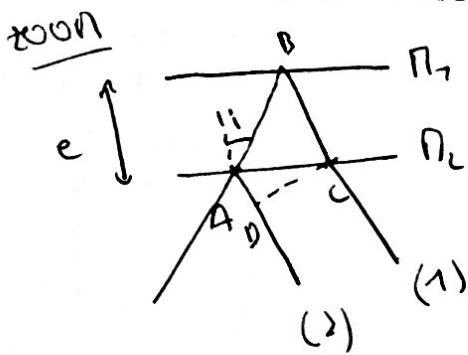


Source étendue : frange localisée à l'infini

2) Franges localisées pour dispositif à faces //



Schema équivalent



$$S(S, \Pi) = AB + BC - AD$$

$$= 2AB - AD$$

$$AB = \sin i \cdot AC$$

$$AC = 2 \sin i \cdot AB$$

$$\Rightarrow S(S, \Pi) = 2AB (1 - \sin^2 i)$$

$$= 2 \frac{e}{\cos i} (1 - \sin^2 i) = 2e \cos i$$

La différence de marche ne dépend que de  $\Pi$ , le point d'observation! Pas de  $S$ , l'étendue de la source.

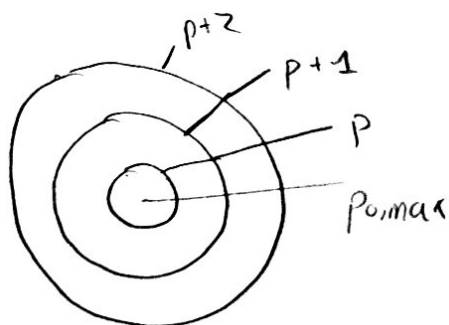
### Ordre d'interférences

$$S(i) = 2e \cos i = p\lambda \quad , \quad p \in \mathbb{N}$$

$$p_{\max} = \frac{2e}{\lambda} \quad (\notin \mathbb{N})$$

$$p = \frac{2e \cos i}{\lambda} < p_{\max}$$

L'ordre d'interférence diminue qu'on s'éloigne du centre



$$2) \quad p_{\min} = \frac{2e \cos i_0}{\lambda}$$

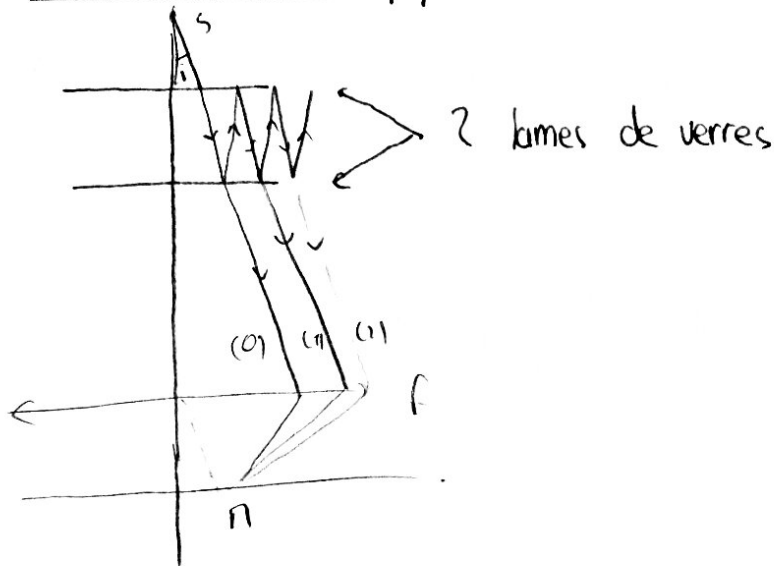
$$p_{\max} - p_{\min} = \frac{2e}{\lambda} (1 - \cos i_0)$$

nombre d'anneaux que l'on observe  
brillant

$$\frac{N}{e} = \frac{2(1 - \cos i)}{\lambda}$$

Si  $e \rightarrow$  au augmente le nombre d'anneaux.

### 3) Interferomètre de Fabry péro



Interférences avec une infinité d'ondes

$$s(\pi) = \sum_{n=0}^{\infty} (s_0 r^n e^{-i\Delta\phi})^n = s_0 \frac{1}{1 - R e^{-i\Delta\phi}}$$

avec  $R = r^2$

$$E(\pi) \propto |s(\pi)|^2 = s_0^2 \frac{1}{1 + R^2 - R \cos(\Delta\phi)}$$

$$\cos(\Delta\phi) = 1 - 2 \sin^2 \frac{\Delta\phi}{2}$$

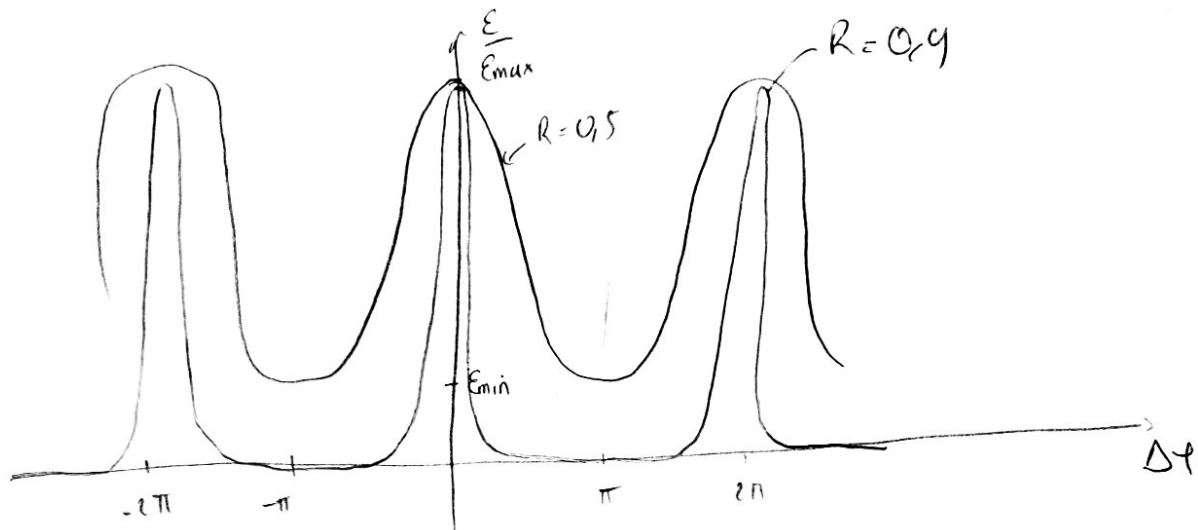
$$E(\pi) \propto \frac{\varepsilon_0}{1 + \frac{4R}{(1-R^2)} \sin^2 \frac{\Delta\phi}{2}}$$

$\Delta\phi$  : même différence de marche qu'avec le Michelson.

Etude de la figure d'interférence.

$$1) E_{\max} \text{ si } \frac{\Delta\varphi}{2} = \pi + p\pi \quad \Delta\varphi = 2\pi [2\pi]$$

$$E_{\min} = \frac{E_0}{1 + \frac{4R}{(1-R)^2}}$$



$$\sin^2\left(\frac{\Delta\varphi}{2}\right) = \frac{(1-R)^2}{4R} \Leftrightarrow \Delta\varphi = \frac{1-R}{\sqrt{R}}$$

$$\Delta\varphi_{\text{pic}}\left(\frac{E_{\max}}{2}\right) = \frac{2(1-R)}{\sqrt{R}}$$

III) Interferométrie à faces non //

Conclusion:

schéma du Michelson à projeter.

1 image du Michelson nu

1 image avec les rayons.

- Michelson à face // et à coin d'air.

- Fabry-Pérot : Interférences à Nondes.

- Franges d'égalité inclinaisons à introduire au début du Michelson.



$S = 2e \cos i \Rightarrow$  Plus rapide pr la  $\neq$  de marche.

- Anneaux d'égalité inclinaison: Ts les points sources génèrent une figure d'interférence qui se superpose. Cohérence spatiale infinie (= caractéristique du système : source + dispositif)

- Quand  $e \rightarrow 0$  on a des anneaux dt les rayons divergent. Tante plate quelque suit la longueur d'onde. On appelle ça aussi le contact optique.

- Fabry Pérot : Coefficient de transmission,

Présenter le cas limite  $R \rightarrow 1$  à la fin pr montrer la conséquence

$$E(R) = \frac{E_0}{1 + F(R) \sin^2 \left( \frac{\Delta\varphi}{2} \right)}$$

$$F(R) = \frac{4R}{(1-R)^2}$$

$F \rightarrow \infty$  :  $R \rightarrow 1$  : Miroir de très forte réflectivité.

Transmission du système :  $T(\Delta\varphi) = \frac{E(\Delta\varphi)}{E_0}$

- Intervall spectral libre.

$$\Delta J_{n+1, n} = \frac{c}{2L} = ISL$$

• Pouvoir de résolution du F.P.

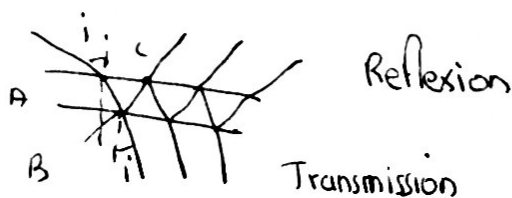
$$\Delta J_{1/2} = \frac{ISL}{F}$$

• H prépa PC. PC\*  
Perez optique

• Plan proposé par Y. Petit

## I) Interférence par division d'amplitude

### 1) Frange d'égale inclinaison



PAS D'ABSORPTION

$$\Delta \varphi = \delta = \delta_{\text{géométrique}} + \delta_{\text{interfère}}$$

$$= 2e \cos i \left( + \frac{\lambda}{2} \right)$$

← pr la réflexion. (Pérez)

• Ordre d'interférence

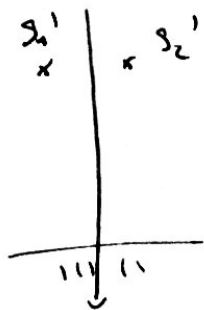
$$p = \frac{2e \cos i}{\lambda} \left( + \frac{1}{2} \right)$$

⇒ L'énergie est conservée.

• Localisation

⇒ Rayons avec la même inclinaison. Interfère à l'infini. On peut les observer ds le plan focale d'une lentille





#### 4) Application

- En lame d'air, mesure de l'épaisseur de l'âme d'air
- Spectroscopie.
- Mesure d'indice.

### III) Fabry-pérot.

#### 1) Dispositif

#### 2) Transmission d'Airy.

- Notion de finesse
- largeur à mi-hauteur

⇒ Notion de résonateur optique

Division du front d'onde